

### 3. Starke Wechselwirkung und Quarkstruktur von Hadronen

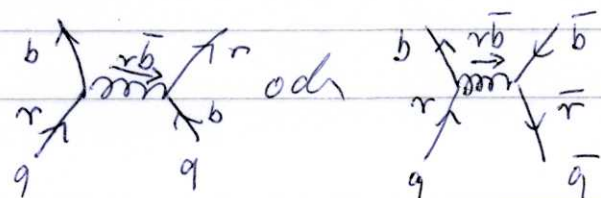
6 Quarks und 6 Antiquarks kommen in der Natur in gebündelten Zuständen vor, den Hadronen. 2 Typen: Baryonen haben 3 Valenzquarks, sied Elementen; Mesonen sind Quark-Antiquark gebundene Zustände.

Entsprechend der elektrischen Ladung, an die die Photonen und elektromagnetischen WW koppeln, haben Quarks außerdem eine von 3 möglichen Farben, oder Farbladungen. Die Austauschfotonen der starken WW, die Gluonen koppeln an die Farbe. Hadronen sind farbneutral oder farblos.

Baryonen: 3 Valenzquarks verschiedener Farbe, r, g und b

Mesonen: Valenzquarks und Antiquarks von je einer Farbe und der entsprechenden Antifarbe. Im Gegensatz zu den elektrisch neutralen Photon tragen Gluonen Farbladung und zwar je eine Farbe und eine Antifarbe. Die 9 möglichen Kombinationen zerfallen nach gruppentheoretischen Überlegungen in ein Farboktett mit Zuständen  $r\bar{b}$ ,  $r\bar{g}$ ,  $b\bar{r}$ ,  $b\bar{g}$ ,  $g\bar{r}$ ,  $g\bar{b}$ ,  $\frac{1}{\sqrt{2}}(r\bar{r} - g\bar{g})$ ,  $\frac{1}{\sqrt{6}}(r\bar{r} + g\bar{g} - 2b\bar{b})$  und in ein farbneutrales (farbloses) Singlett  $\frac{1}{\sqrt{3}}(r\bar{r} + g\bar{g} + b\bar{b})$

farbige Quarks wechselwirken untereinander durch Gluon austausch wie z.B.



1975 wurde von Wilczek, Politzer und Gross eine Feldtheorie für die starke WW vorgeschlagen:  
 Quantenchromodynamik (QCD)-Nobelpreis 2004  
 bei kleinen Abständen ist die WW Coulombkraft, ihr Potential, bei großen Abständen wird es zunehmend schwerer Quarks oder Quark-Antiquarks zu trennen = confinement

$$\text{Potential } V = -\frac{4}{3} \frac{\alpha_s}{r} + kr$$

essentieller Beitrag von Gross, Politzer, Wilczek: bei sehr kleinen Abständen sind Quarks asymptotisch frei: für  $r \rightarrow 0$  geht  $\alpha_s \rightarrow 0$  "asymptotische Freiheit" ebenso für  $q^2 \rightarrow \infty$

Insgesamt sind einige Hundert Hadronen bekannt mit Massen zwischen 135 MeV und ca 11 GeV. Siehe Zusammenstellung der Particle Data Group <http://pdg.lbl.gov/>, die ständig aktualisiert wird. Dessen Massenhierarchie der Quarks und Quantenzahlen ist eine Ordnung in Multiplets sinnvoll.

Mesonen: die leidesten Mesonen haben Spin  $S=0$  und totalem Drehimpuls  $J=0$   
 aus nur u und d-Quarks (und  $\bar{u}$  und  $\bar{d}$ ) kann man 4 Zustände konstruieren, 1 Triplet und 1 Singlett.  
 Hinzu kommt s-Quark ( $\bar{s}$ ) als 3. Quark dazu  
 → 3 Zustände, die aus gruppentheoretischen Überlegungen in ein Oktaett und ein Singlett gesplittet sind.

Die beiden Quantenzahlen  $I_3$  und  $S$  spannen eine Ebene auf, in der diese Resonen 9 Punkte belegen

 Fig. 3-1

Erinnerung: u  $I_3 = \frac{1}{2}$  d  $I_3 = \frac{1}{2}$  s  $S = -1$

und Antiquarks entgegengesetzt

~ eui  $SU(3)_f$  Gruppenstruktur im Flavour, zerfällt in ein Octett und ein Singlett (sollten bei exakt Symmetrie alle derselbe Rasse haben.)

am energetisch günstigsten:  $S=0, I=0$

9 sogenannte "Pseudoskalare Resonen", da Parität (Symmetrie der Wellenfunktion unter räumlicher Inversion  $\vec{r} \rightarrow -\vec{r}$ ) negativ ist.

HB: Symmetrie der Wellenfunktion bezüglich Spin  $\uparrow\downarrow$ : kann symm oder antisymm sein

für eine gegebene Strangeness gruppieren sich die Teilchen in Multiplets bezüglich des Iso-Spins

Pion:  $\pi^+ = u\bar{d}$   $m_{\pi^+} = 139 \text{ MeV}/c^2$   $I_3 = 1$

$\pi^- = \bar{u}d$  "  $I_3 = -1$  Antiteilchen zu  $\pi^+$

die Pionen mit  $I=1$  müssen ein Triplet bilden

3. Teilchen  $\pi^0 = \frac{1}{\sqrt{2}}(u\bar{u} - d\bar{d})$   $m_{\pi^0} = 135 \text{ MeV}/c^2$   
antisym. bez. Vertauschung  $u\bar{u} \leftrightarrow d\bar{d}$

Kaon:  $K^+ = u\bar{s}$   $494 \text{ MeV}/c^2$   $I_3 = \frac{1}{2}$   $S = 1$

$K^- = \bar{u}s$  "  $I_3 = -1/2$   $S = -1$  Antit. zu  $K^+$

$K^0 = d\bar{s}$   $498 \text{ MeV}/c^2$   $I_3 = -1/2$   $S = 1$

$\bar{K}^0 = \bar{d}s$  "  $I_3 = 1/2$   $S = -1$  Antit. zu  $K^0$

2 Teilchen fehlen noch: eins im Okett

$$\frac{1}{\sqrt{6}} (\bar{u}u + \bar{d}d - 2\bar{s}s)$$

und ein im Flavour symmetrisches Singlett

$$\frac{1}{\sqrt{3}} (\bar{u}u + \bar{d}d + \bar{s}s)$$

die beiden Teilchen  $\eta$  ( $548 \text{ MeV}/c^2$ ) und  $\eta'$  ( $958 \text{ MeV}/c^2$ ) entsprechen (in etwa) diesen Zuständen

da die Quantenzahlen  $I_3$  und  $S=0$  seit können sie allerdings mischen und die physikalischen Teilchen  $\eta$  und  $\eta'$  sind keine reinen Flavourokett und - singlett Zustände.

Die doch erheblichen Massendifferenzen der 9 Zustände zeigen gewisse Brechung der Flavorsymmetrie

Bei paralleler Kopplung der Quark- und Antiquark-Spins  $\uparrow\uparrow S=1$ ; mit  $L=0 \wedge J=1$  wieder 9 Zustände

allerdings etwas höher in der Energie (Rasse)  
die "Vektormesonen"  $\Rightarrow$  Fig 3-2

Rho  $\rho^+, \rho^-, \rho^0$  Analoge des Pions  $m \approx 770 \text{ MeV}/c^2$   
 $K^{*+}, K^{*-}, K^{*0}, \bar{K}^{*0}$  wie Kaon  $m \approx 892 \text{ MeV}/c^2$

$\omega$  und  $\varphi$  entsprechen dem  $\pi$  und  $\pi'$ , allerdings sind Oktaett und Saifelt zusammengewürfelt, daß  $\varphi$  hauptsächlich  $s\bar{s}$  und  $\omega = \frac{1}{\sqrt{2}}(u\bar{u} + d\bar{d})$

Diese Risselung erklärt die Zerfälle ( $\omega \rightarrow 3\pi$  und  $\varphi \rightarrow K\bar{K}$ ) und Rassen (Gell-Mann Okubo Formula, siehe z.B. Perkins 4.7) für  $\omega$   $783 \text{ MeV}/c^2$  und  $\varphi$   $1019 \text{ MeV}/c^2$  ( $\omega$ -Rasse ähnlich  $\pi$ -Rasse)

Es gibt auch Resonen mit  $L \neq 0$  und  $J > 1$  aber höher in Energie z.B.  $f_4$  bei  $2050 \text{ MeV}$   $J=4$

Baryonen: 3 Valenzquarks spin  $S = 1/2$  oder  $3/2$   
mögliche elektrische Ladung  $++, +, 0, -$   
und entsprechende Antikörpern

totale Wellenfunktion muß bezüglich Vertauschung von 2 Quarks definierte Symmetrie haben und antisymmetrisch sein (Fermionen)

Betracht zunächst

$$\psi(1, 2, 3) = \psi_r(1, 2, 3) \cdot \chi_s(1, 2, 3) \cdot q_f(1, 2, 3)$$

räumlich      Spin      Flavour

aber das nicht wichtig aus!

Baryon  $u\bar{u}u$  mit  $S=3/2$  existiert mit  $L=0$   
und ist ein (a)deutprustate des 1. aufgerollten  
Zustands des Nukleons:  $\Lambda^{++}(1232)$

$s$ -Welle  $\sim \Psi_r$  symmetrisch

$$\uparrow \uparrow \uparrow \quad \chi_s \quad "$$

$$\downarrow \downarrow \downarrow \quad \varphi_f \quad "$$

d.h. es  $\sim \sqrt{3}$  einer zusätzlichen antisymmetrischen Teil der Wellenfunktion geben: Evidenz für Farbe

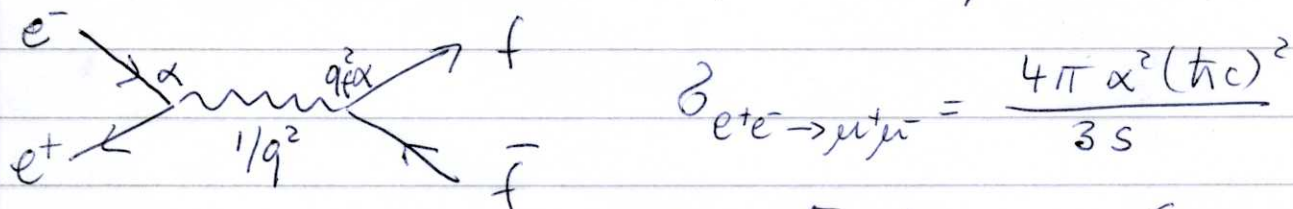
3 Quarks, jedes mit einer anderen der 3 Farben  
Konstruktion einer antisymm. Farbwellelfunktion  $\varphi_c = \frac{1}{\sqrt{6}} \sum_{ijk} E_{ijk} u_i u_j u_k =$

$$= \frac{1}{\sqrt{6}} (u_1 u_2 u_3 - u_1 u_3 u_2 - u_2 u_3 u_1 + u_2 u_1 u_3 - u_3 u_1 u_2 + u_3 u_2 u_1)$$

Produkt  $\Psi_r \chi_s \varphi_f$  immer symmetrisch f. Baryonen

Experimentelle Evidenz für 3 Farben:

Drehende Observable, z.B. Wirkungsquerschnitt  
 $e^+e^-$  Annihilation eines Fermionpaars



$$\mathcal{B}_{e^+e^- \rightarrow \mu^+\mu^-} = \frac{4\pi \alpha^2 (\hbar c)^2}{3 s}$$

wenn  $\sqrt{s}$  die car Energie des

$e^+e^-$  Paars ist mit  $V_s = q^2$  in diesem Fall

$$\mathcal{B}_{e^+e^- \rightarrow \bar{u}\bar{u}} = \frac{4}{9} \frac{4\pi \alpha^2 (\hbar c)^2}{3 s}$$

ohne Farbe  
=  $3 \cdot \frac{4}{9} \cdot \dots$  mit 3 Farben

$$\mathcal{B}_{e^+e^- \rightarrow \bar{q}\bar{q}} = 3 \frac{4\pi \alpha^2 (\hbar c)^2}{3 s} \sum_f q_f^2$$

$$R = \frac{\sigma_{e^+e^- \rightarrow \text{Hadronen}}}{\sigma_{e^+e^- \rightarrow \mu^+\mu^-}} = 3 \sum_f q_f^2$$

erwartet als Funktion von s Stufen in R(s), je nachdem welche Quarkflavors populiert werden können

$$\text{unterhalb } K^+K^- \text{ Schwellen } R = 3\left(\frac{4}{9} + \frac{1}{9}\right) = 5/3$$

$$\text{obenhalb } K^+K^-, \text{ unterhalb } D\bar{D} \quad R = 3\left(\frac{4}{9} + \frac{1}{9} + \frac{1}{9}\right) = 2 \\ (\text{D: Resonanz mit c-Quark})$$

$$\text{obenhalb } D\bar{D}, \text{ unterhalb } B\bar{B} \quad R = 3\left(\frac{4}{9} + \frac{1}{9} + \frac{1}{9} + \frac{4}{9}\right) = 10/3 \\ \text{obenhalb } B\bar{B} \quad \text{Resonanz. b Quark} \quad R = 11/3$$

Fig 3-3

Rechts zur Konstruktion einer gesamten Wellenfunktion mit definierten Symmetrieeigenschaften bez. Vertauschung von 2 Quarks:

z.B. symmetrische Spin-Flavor Wellenfunktion wenn  $\psi_s$  symmetrisch und  $\psi_c$  antisymmetrisch.

Kopple zunächst 2 Quarks in Zustand definiert Symmetrie und addiere 3. Quark

Beispiel: Proton (und, Spur S=1/2)

Spin  $\uparrow\uparrow \frac{1}{\sqrt{2}}(\uparrow\downarrow + \downarrow\uparrow)$  &  $\psi_s$  symmetrisches Triplett oder  $\frac{1}{\sqrt{2}}(\uparrow\downarrow - \downarrow\uparrow)$  antisymmetrisches Singlett

und entsprechend im Flavor

2 Quarks in Spur Singlett und Flavor antisymmetrisch ( $u\uparrow d\downarrow - u\downarrow d\uparrow - d\uparrow u\downarrow + d\downarrow u\uparrow$ )  $\underbrace{u\uparrow}_{\text{Kopple 3. Quark}}$

Symmetrisierung durch zyklische Permutationen (Ausleserichtung 12)

Baryon-Paulipletts: energetisch am niedrigsten  
 $L=0 \quad S=1/2 \approx 1$  Okett  $\Rightarrow \boxed{\text{Fig 3-4}}$

- warum fehlen die Ecken  $I_3 = 3/2, S=0$  und  $I_3 = -3/2, S=0$ ?

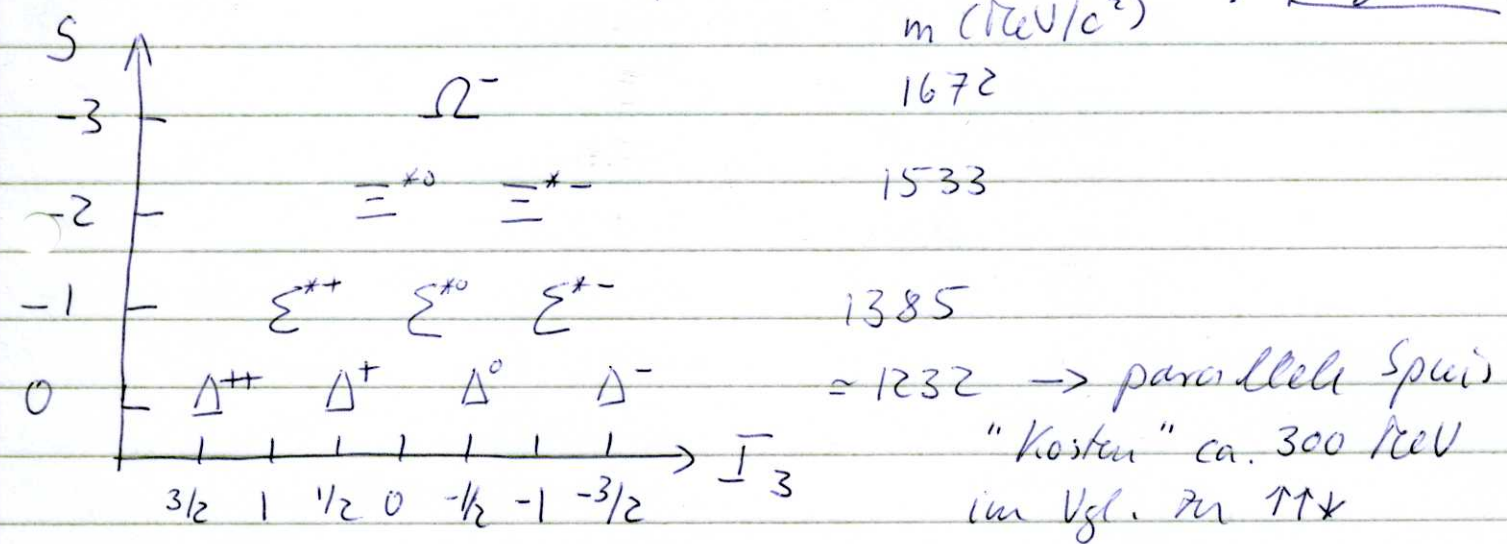
Kann keine symm. Spur-Flavor Wellenfunktion mit  $S=1/2$  bilden

für  $L=0$ , 3 identische Quarks und  $S=3/2$  funktioniert es!

- warum 2 uds Zustände?  $I_3$  für  $u+d$  Quarks  $\Rightarrow 0$   
 kann Pitziel eines speziellischen Triplett sein  
 $I=1, I_3 = \pm 1, 0 \approx \Sigma^+, \Sigma^0, \Sigma^-$  als uus, uds, dds  
 och antisymm. Singlett  $I=0, I_3 = 0 \approx \Lambda$  uds

$L=0 \quad S=3/2 \approx 1$  Dekuplett

$\Rightarrow \boxed{\text{Fig 3-5}}$



## Magnetisches Moment des Protons / Neutrons

für einzelne Valenzquarks gilt  $\langle \mu_s \rangle = g_s \mu_0 m_s$

mit  $g_s = 2$  fürpunktfermige Quarks,  $m_s = \frac{1}{2}$ , und Magneton  $e\hbar/2mc^2$ ; für up und down Quark,

$$\mu_{u,d} = \frac{e u_d e \hbar c}{2 m_{u,d} c^2} \quad \text{mit } m_u \approx m_d \approx \mu_u = -2 \mu_d$$

$$\mu_u = \frac{2}{3} \frac{m_N}{m_d} \mu_d \quad \text{und} \quad \mu_d = -\frac{1}{3} \frac{m_N}{m_d} \mu_u$$

Kopplung 2 u-Quarks zu s-gemischtem Spin-Triplet

$\psi_s (\vec{s}=1, m_s=0, \pm 1)$  und 3. d-Quark mit Spin  $q_s = (\frac{1}{2}, \pm \frac{1}{2})$

zu Proton Spin Wellenfunktion  $\psi_p (\vec{\ell} \pm \frac{1}{2})$

2 mögliche Kopplungen, jede durch einen sogenannten Clebsch-Gordan Koeffizienten charakterisiert:

$$\psi_p (\frac{1}{2}, \frac{1}{2}) = \underbrace{\sqrt{\frac{2}{3}} \chi_s(1,1) \psi_s(\frac{1}{2}, -\frac{1}{2})}_{\text{koppt } \mu_u + \mu_d - \mu_d} - \underbrace{\sqrt{\frac{1}{3}} \chi_s(1,0) \psi_s(\frac{1}{2}, \frac{1}{2})}_{\text{bei } \mu_d}$$

trifft  $\mu_u + \mu_d - \mu_d$  bzw  $\mu_d$  bei

$$\mu_p = \frac{2}{3}(2\mu_u - \mu_d) + \frac{1}{3}\mu_d = \frac{4}{3}\mu_u - \frac{1}{3}\mu_d = \frac{m_N}{m_d} \mu_u$$

für  $m_d = \underbrace{336 \text{ MeV}/c^2}_{\text{Konsituentenmasse}}$  und  $\mu_p = 2.79 \mu_N$  zu reproduzieren

analog  $\mu_n = -\frac{2}{3}\mu_p = -1.86 \mu_N$  ist gut übereinstimmung mit exp. Wert von  $-1.91 \mu_N$

Quarkonia: schwere Quarks bilden mit ihren jeweiligen Antiquarks im Potential der starken WW Wasserstoff- bzw. Positronium-ähnliche Zustände starten mit Coulombartigem Potential

$$V = -\frac{4}{3} \frac{\alpha_s \hbar c}{r} \quad \Rightarrow \text{Bohrradius } a = \frac{3 \hbar c}{4 \mu c^2 \alpha_s}$$

mit reduzierter Masse  $\mu = m_{c,b}/2$

mit  $m_c \approx 1.3 \text{ GeV}/c^2$  und  $\alpha_s \approx 0.3 \Rightarrow a = 0.7 \text{ fm}$   
für  $c\bar{c}$  1s-Zustand

in der Tat ist Potential durch confinement kompliziert

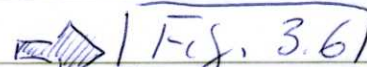
$$V = -\frac{4}{3} \frac{\alpha_s \hbar c}{r} + kr \quad \text{mit } k = O(1 \text{ GeV}/\text{fm})$$

→ Radius des 1s-Zustands ist 0.3 fm

Teilchen (Reson) 1974 gleichzeitig in Brookhaven und Stanford gefunden als erster  $c\bar{c}$ -Zustand mit  $m = 3097 \text{ MeV}/c^2$

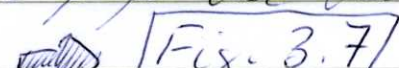
- BNL (S. Ting et al.) suchte nach Endzuständen mit Quantenzahlen des Photons in  $p + Be$  Koll. bei  $V_5 = 7.5 \text{ GeV}$

suche nach  $e^+e^-$  im Endzustand, sehr schwer gegen  $\pi^+\pi^-$  zu diskriminieren

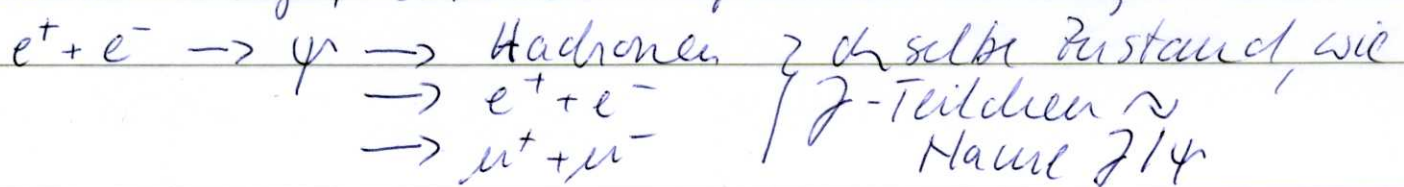
Spektrometer weit Unterdrückung von  $\pi^+\pi^-$  um 8 Größenordnungen 

finde scharfe Resonanz (Brüte = exp. Auflösung)



- Stanford (B. Richter et al.)  $e^+e^-$  Kollidier SPEAR mit  $V_5$  bis zu 8 GeV und Mark I Detektor (Spurkammern + Shower Detektoren)  
Variation der Energie  $V_5$  in sehr kleinen Schritten  
Messung von Hadronen,  $e^+e^-$  und  $\mu^+\mu^-$  im Endzustand 

finde riesige, extrem scharfe Resonanz,  $\Gamma = 91 \text{ keV}$



das  $\bar{J}/\psi$  ist  $c\bar{c}$  1s-Zustand mit  $S=1$

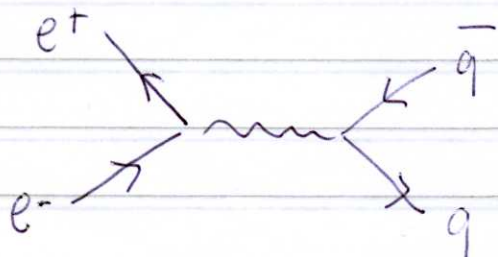
d.h.  $1^3S_1$ ,

$\rightarrow \boxed{\text{Fig. 3.8}}$

es gibt alle anderen Zustände analog zu Positronium, allerdings ist Feinstruktur- und Hyperfeinstruktur aufspaltung viel größer!

### Jets

Was passiert mit den Quarks, die in Prozessen wie



gebildet werden?

sie hadronisieren als Jets

$\rightarrow \boxed{\text{Fig 3.9}}$

bewegen sich mit hohem Impuls aus einander  
es bildet sich "Colorstring" der abrisst  
und neues  $q\bar{q}$  an der Enden bildet, so-  
bald genügend Energie als pot. Energie  
in String gespeichert

die kleinen Stringstücke werden Mesonen  
(und wenige Baryonen) die in Spray von  
Teilchen = Jet exprimieren nachgewiesen  
werden

Quark-Gluon-Plasma: bei sehr hoher Temperatur gibt es einen Zustand, in dem Konfinement aufgehoben ist und sich Quarks und Gluonen quasi frei wie Elektronen und Ionen in einem Plasma bewegen  $\sim \text{QGP}$  frühes Universum und hochenergetische Kernkollisionen